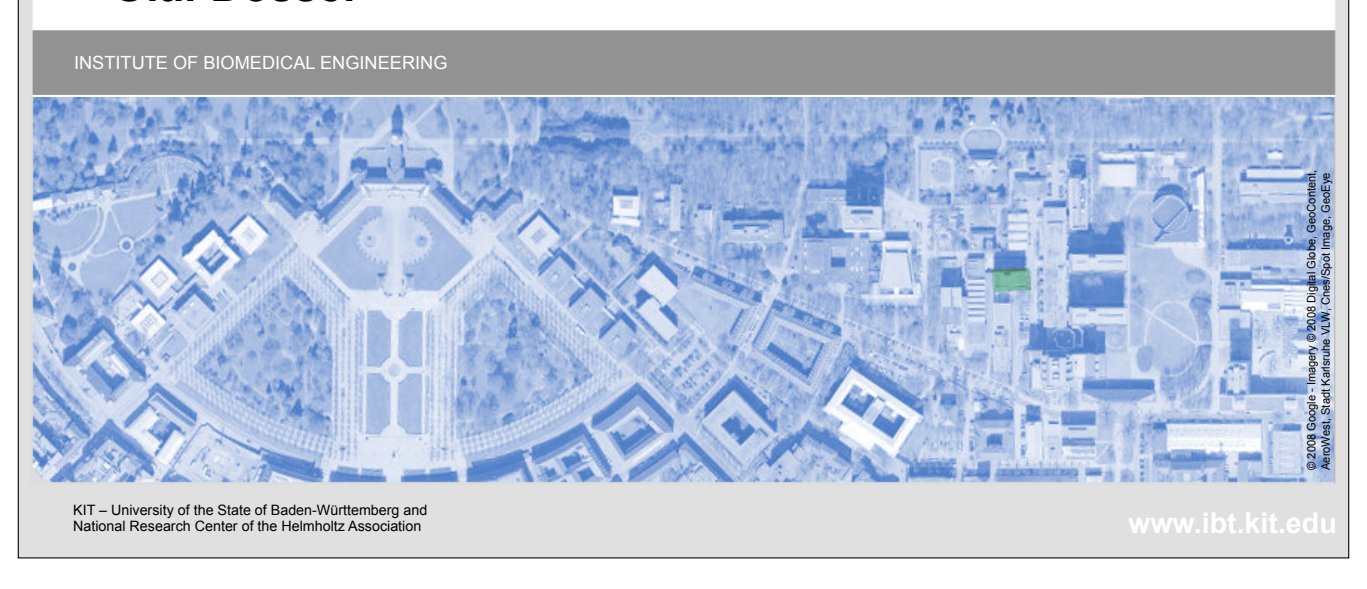


Bildgebende Verfahren in der Medizin

Kleiner Ausflug in die digitale Bildverarbeitung

Olaf Dössel



Kleiner Ausflug in die digitale Bildverarbeitung

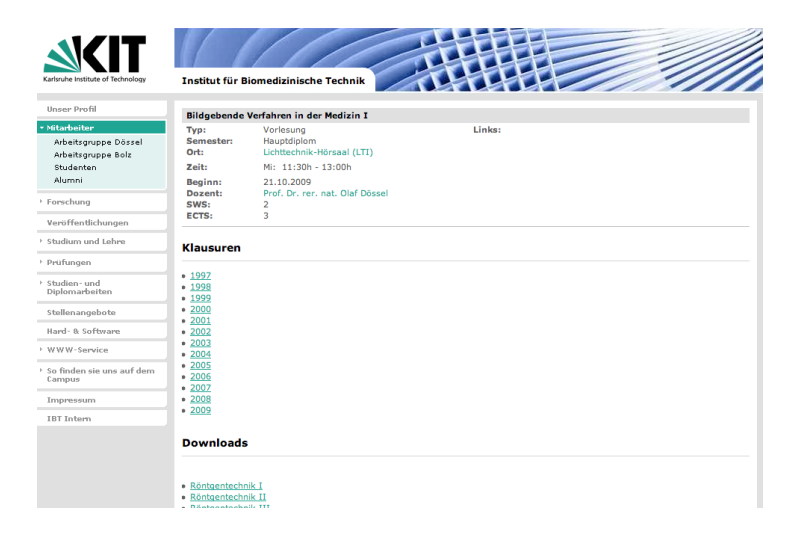
- Punktoperationen
- Geometrische Transformationen
- Interpolation
- Faltungsfilter: linear und verschiebungsinvariant
- Rangordnungsfilter
- Bild-Restauration
- Bewegungs- und Verschiebungsanalyse
- Segmentierung
- Klassifizierung
- Multi-Modality-Imaging
- Bildkommunikation und Archivierung



Tutorium für digitale Bildverarbeitung mit NIH ImageJ

http://rsbweb.nih.gov/ij/

http://www.ibt.kit.edu/bildgebendeverfahren1.php



FFT, Filtern und Segmentieren mit ImageJ

3 Institut für Biomedizinische Technik

Olaf Dössel

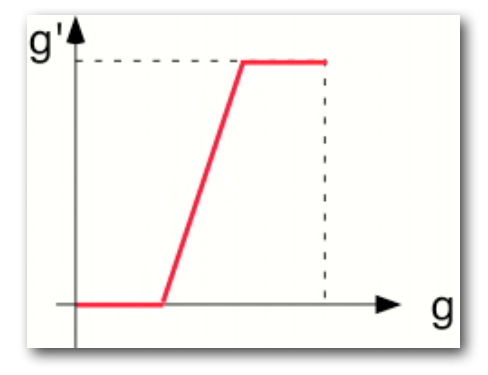


Punktoperationen

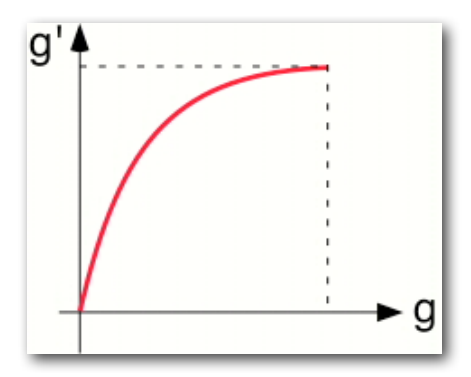
$$g'(x,y) = f(g(x,y))$$



Kontrastdehnungen



mit linearer Kennlinie



mit logarithmischer Kennlinie

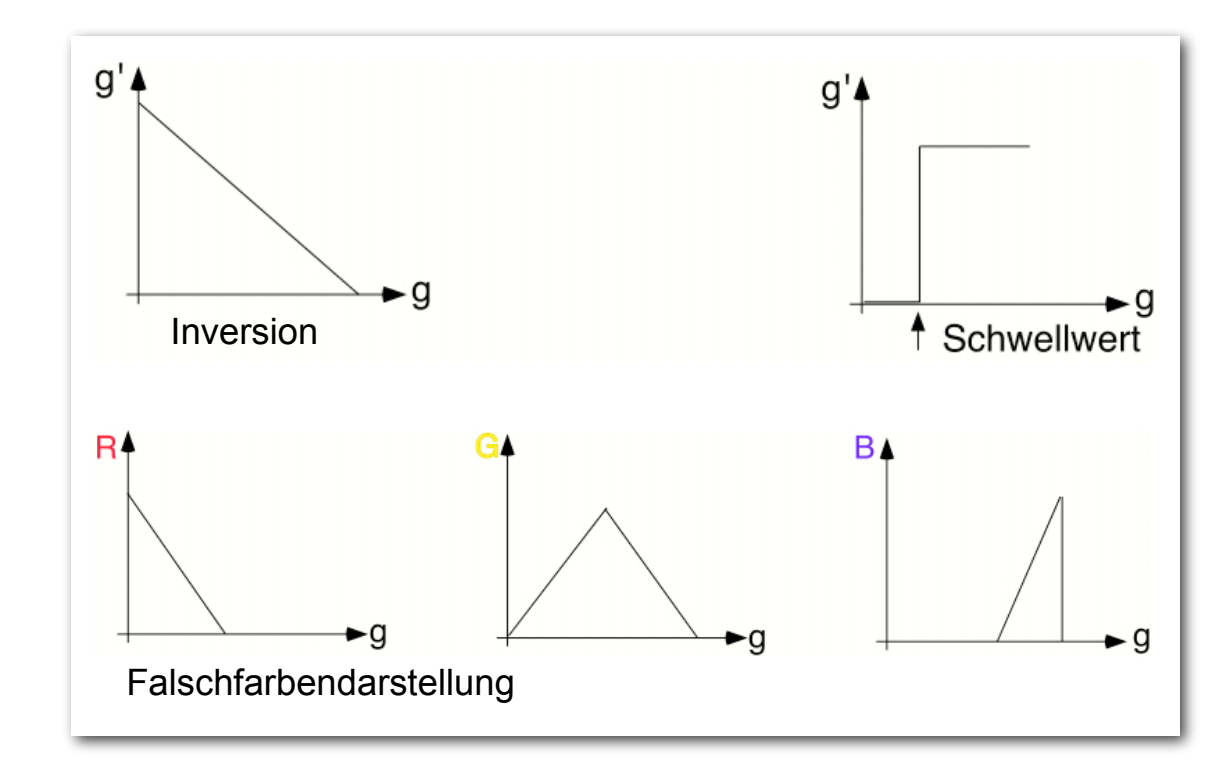
5 Institut für Biomedizinische Technik

Olaf Dössel

Bildverarbeitung: Punktoperationen



Andere Beispiele für Punktoperationen



Institut für Biomedizinische Technik

Olaf Dössel

Bildverarbeitung: Punktoperationen



Geometrische Transformationen

$$\begin{bmatrix} x' \\ y' \end{bmatrix} = \begin{bmatrix} a_{11} & a_{12} \\ a_{21} & a_{22} \end{bmatrix} \cdot \begin{bmatrix} x \\ y \end{bmatrix} + \begin{bmatrix} t_x \\ t_y \end{bmatrix}$$

homogene Koordinaten

$$\begin{bmatrix} x' \\ y' \\ 1 \end{bmatrix} = \begin{bmatrix} a_{11} & a_{12} & t_x \\ a_{21} & a_{22} & t_y \\ 0 & 0 & 1 \end{bmatrix} \cdot \begin{bmatrix} x \\ y \\ 1 \end{bmatrix}$$

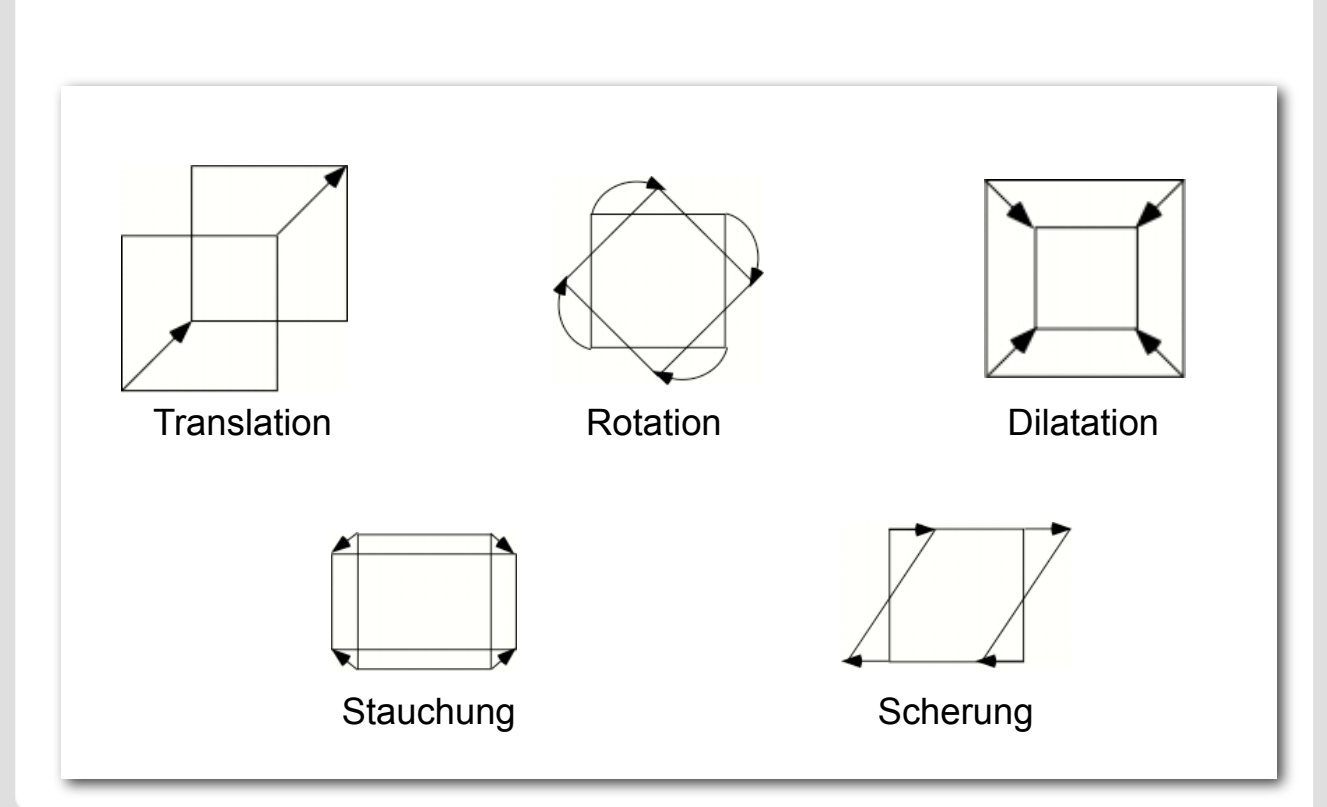
7 Institut für Biomedizinische Technik

Olaf Dössel

Bildverarbeitung: Geometrische Transformationen



Translation, Rotation, Dilatation, Stauchung und Scherung



Institut für Biomedizinische Technik

Olaf Dössel

Bildverarbeitung: Geometrische Transformationen



Image Warping

$$T\begin{bmatrix} x_i \\ y_i \end{bmatrix} = \begin{bmatrix} x'_i \\ y'_i \end{bmatrix} \begin{bmatrix} x_i \\ y_i \end{bmatrix} Ankerpunkte$$

$$\begin{bmatrix} x' \\ y' \end{bmatrix} = T \begin{bmatrix} x \\ y \end{bmatrix} = \begin{bmatrix} a_{11} & a_{12} \\ a_{21} & a_{22} \end{bmatrix} \cdot \begin{bmatrix} x \\ y \end{bmatrix} + \begin{bmatrix} t_1 \\ t_2 \end{bmatrix} + \begin{bmatrix} R_1(x,y) \\ R_2(x,y) \end{bmatrix}$$

$$R_k \left(x, y \right) = \sum_{x=1}^{N} \ b_i g \! \left(r \right) = \sum_{x=1}^{N} \ b_i \ g \! \left(\sqrt{ \left(x - x_i \right)^2 + \left(y - y_i \right)^2 } \ \right)$$

Beispiel für g(r):

$$g(r) = \exp(-r^2/\sigma^2)$$

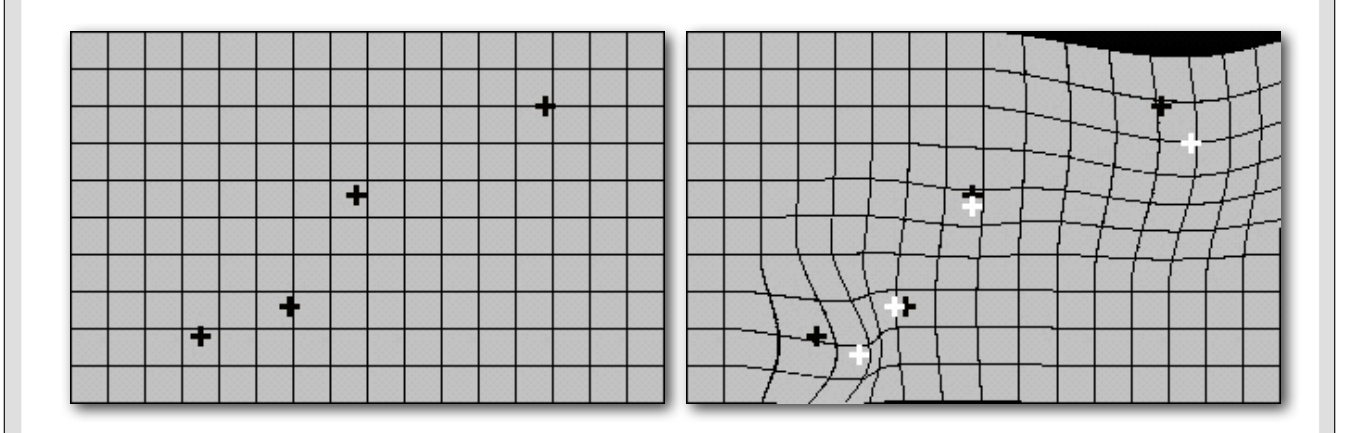
Institut für Biomedizinische Technik

Olaf Dössel

Bildverarbeitung: Geometrische Transformationen

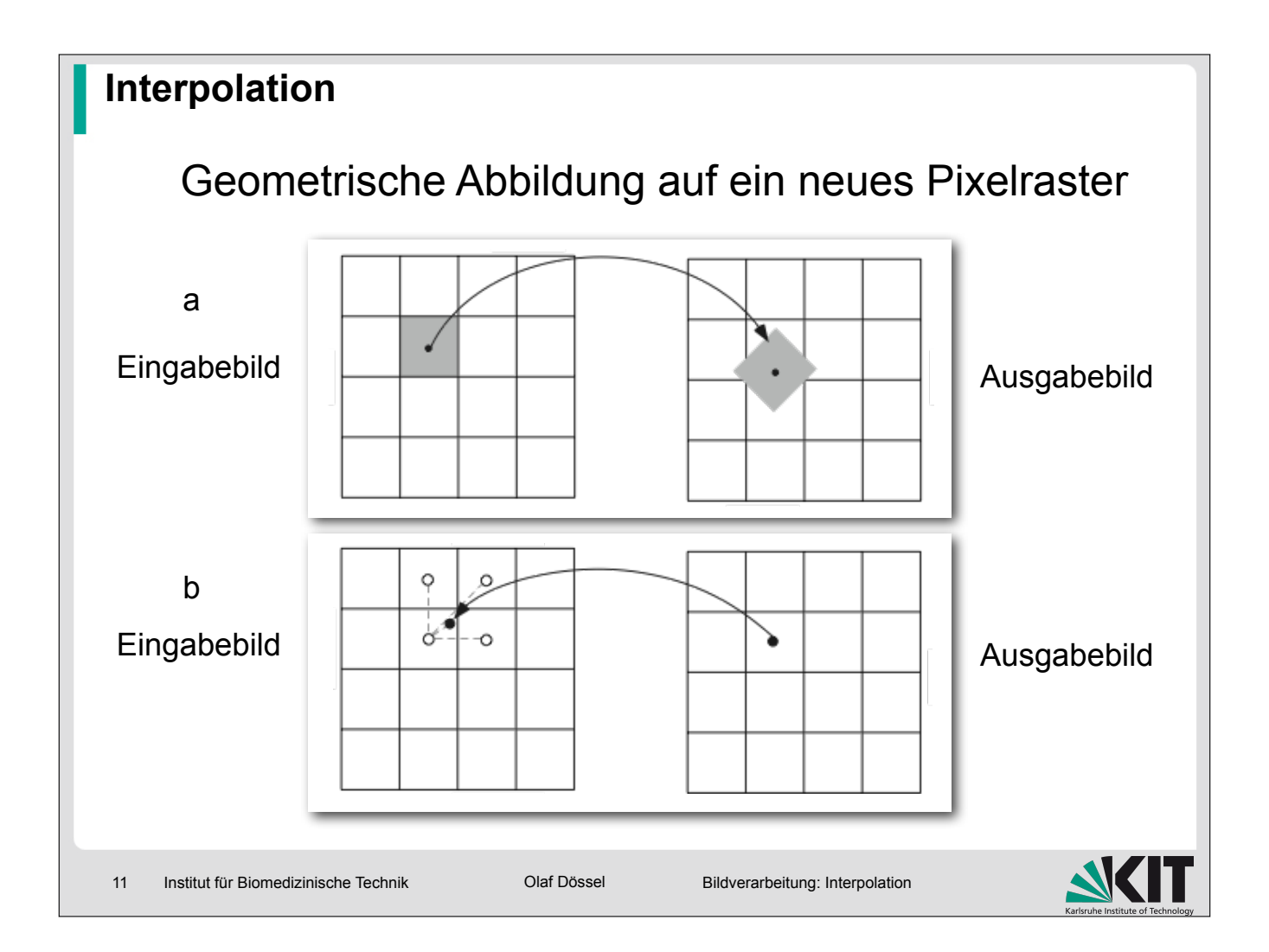


Image Warping

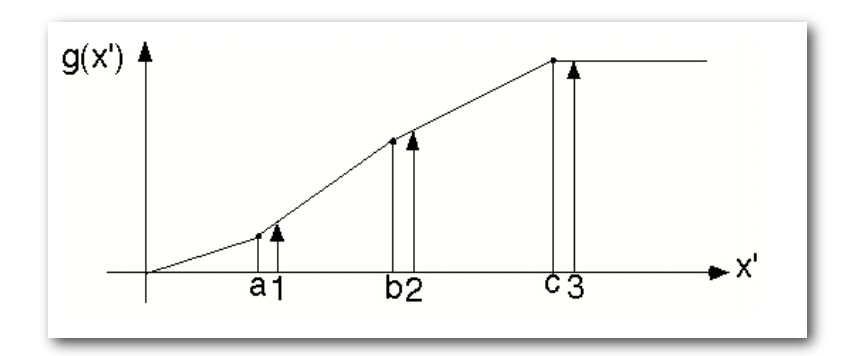


Die Ankerpunkte im Original (schwarze Kreuze) werden elastisch auf die neuen Orte (weiße Kreuze) verschoben





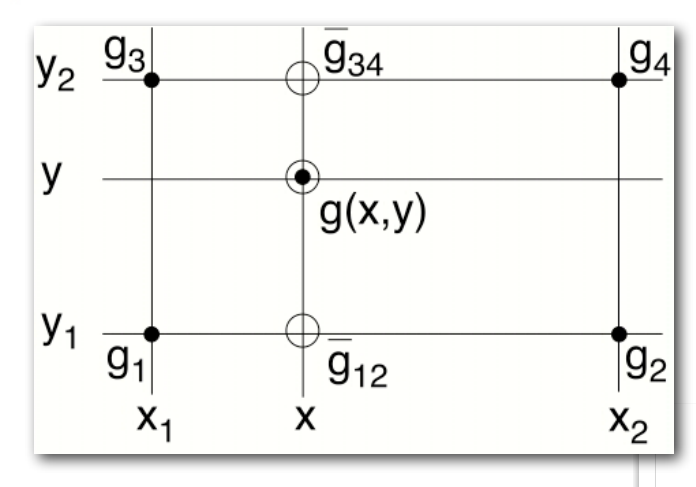
Lineare Interpolation im eindimensionalen Fall



a, b, c: altes Raster,1, 2, 3: neues Raster



Lineare Interpolation im zweidimensionalen Fall



$$\overline{g}_{12} = g_1 + \frac{x - x_1}{x_2 - x_1} (g_2 - g_1)$$

$$\overline{g}_{34} = g_3 + \frac{x - x_1}{x_2 - x_1} (g_4 - g_3)$$

$$g(x,y) = \overline{g}_{12} + \frac{y - y_1}{y_2 - y_1} (\overline{g}_{34} - \overline{g}_{12})$$

13 Institut für Biomedizinische Technik

Olaf Dössel

Bildverarbeitung: Interpolation



Faltungsfilter

$$\begin{split} \tilde{g}(x,y) &= w_1 \cdot g(x-1, \ y+1) + w_2 \cdot g(x, \ y+1) + w_3 \cdot g(x+1, \ y+1) \\ &+ w_4 \cdot g(x-1, \ y \) + w_5 \cdot g(x, \ y \) + w_6 \cdot g(x+1, \ y \) \\ &+ w_7 \cdot g(x-1, \ y-1) + w_8 \cdot g(x, \ y-1) + w_9 \cdot g(x+1, \ y-1) \end{split}$$



Mittelwertfilter

$$M = \frac{1}{9}$$

15 Institut für Biomedizinische Technik

Olaf Dössel

Bildverarbeitung: Faltungsfilter



Gaußfilter

$$G = \frac{1}{52}$$

1	1	2	1	1
1	2	4	2	1
2	4	8	4	2
1	2	4	2	1
1	1	2	1	1

Gradienten-Filter

$$D_x = \frac{1}{2} \begin{bmatrix} 1 & 0 & -1 \end{bmatrix}$$

$$D_{y} = \frac{1}{2} \qquad 0$$

$$|\mathcal{D}| = [\mathcal{D}_{\mathsf{X}} \cdot \mathcal{D}_{\mathsf{X}} + \mathcal{D}_{\mathsf{y}} \cdot \mathcal{D}_{\mathsf{y}}]^{1/2}$$
$$|\mathcal{D}| \approx |\mathcal{D}_{\mathsf{X}}| + |\mathcal{D}_{\mathsf{y}}|$$

17 Institut für Biomedizinische Technik

Olaf Dössel

Bildverarbeitung: Faltungsfilter



Sobel-Filter

$$S_{x} = \frac{1}{8} \quad 2 \quad 0 \quad -2$$

$$1 \quad 0 \quad -1$$

Laplace-Filter

$$L_{1} = \begin{bmatrix} 1 & 1 & 1 \\ 1 & -8 & 1 \\ 1 & 1 & 1 \end{bmatrix}$$

$$L_2 = \begin{array}{c|cccc} 0 & 1 & 0 \\ & 1 & -4 & 1 \\ \hline & 0 & 1 & 0 \\ \end{array}$$

19 Institut für Biomedizinische Technik

Olaf Dössel

Bildverarbeitung: Faltungsfilter



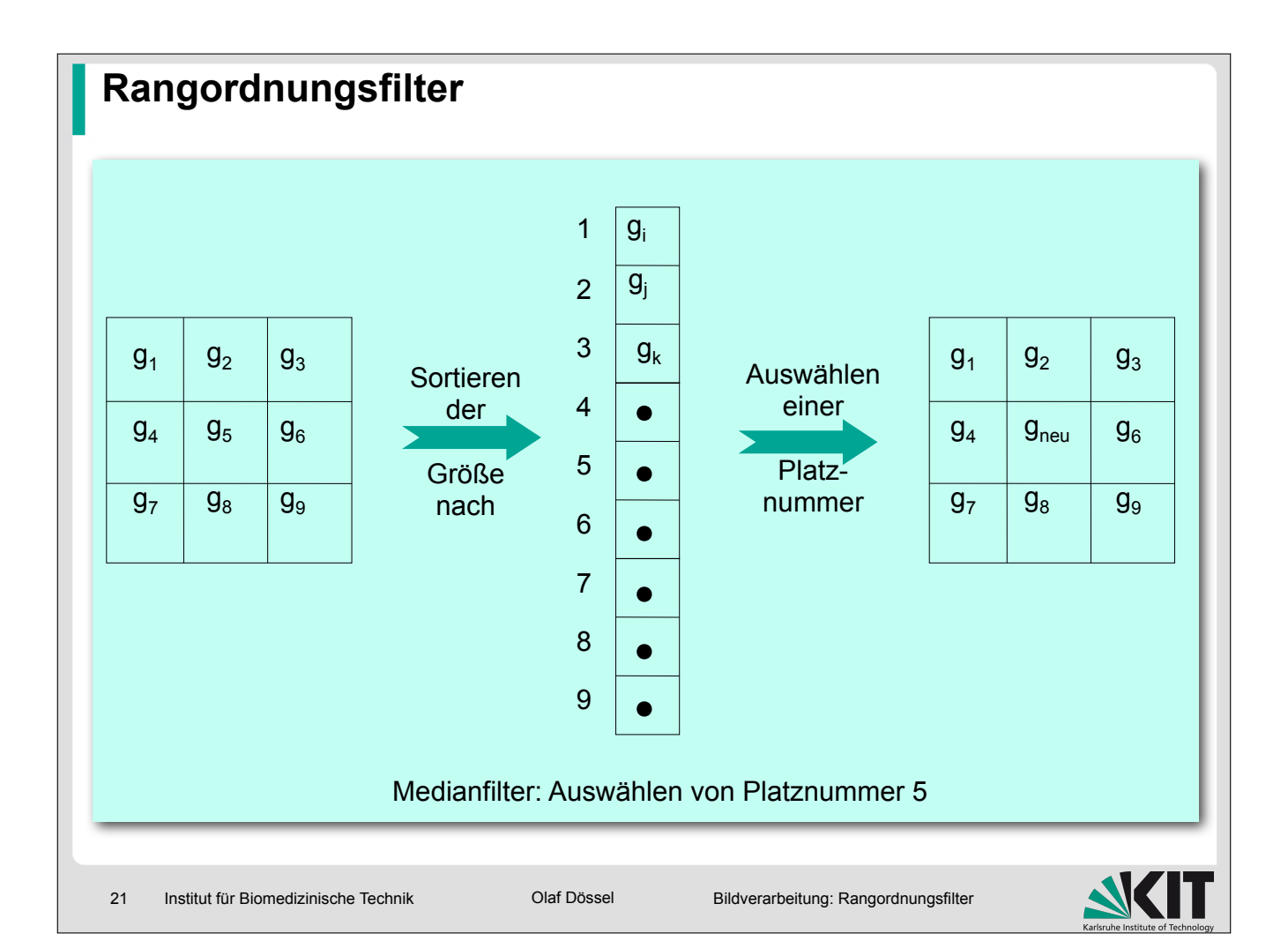
Faltungsfilter

W ₁	W ₂	W ₃
W ₄	W ₅	W ₆
W ₇	W ₈	W ₉

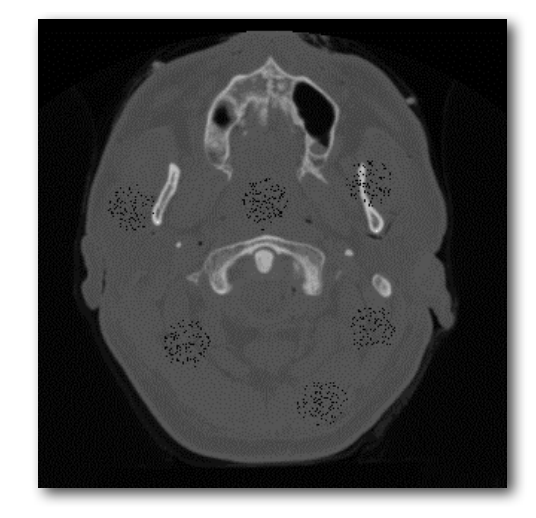
$$\begin{split} \tilde{g}(x,y) &= w_1 \cdot g(x-1, \ y+1) + w_2 \cdot g(x, \ y+1) + w_3 \cdot g(x+1, \ y+1) \\ &+ w_4 \cdot g(x-1, \ y \) + w_5 \cdot g(x, \ y \) + w_6 \cdot g(x+1, \ y) \\ &+ w_7 \cdot g(x-1, \ y-1) + w_8 \cdot g(x, \ y-1) + w_9 \cdot g(x+1, \ y-1) \end{split}$$

Alle Faltungsfilter sind linear und verschiebungsinvariant. Das heißt: es gibt eine Systemübertragungsfunktion H(u,v), die den Faltungsfilter vollständig beschreibt. H(u,v) ist die Fouriertransformierte der Maske.

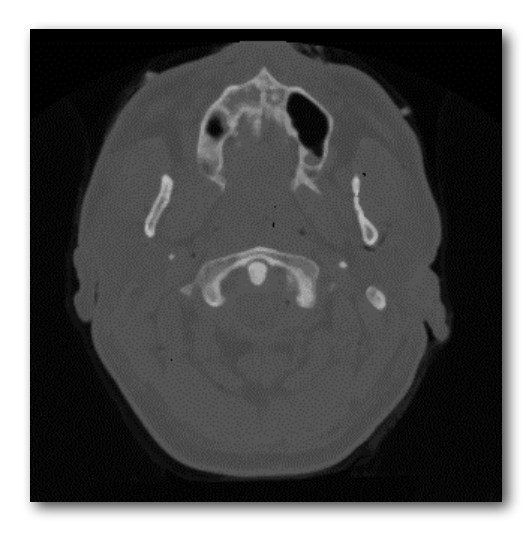




Filterung mit einem Medianfilter



Original



Gefiltertes Bild

Erosions und Dilatations-Operator

Erosion: Rangordnungsfilter mit dem kleinsten Grauwert

Dilatation: Rangordnungsfilter mit dem größten Grauwert

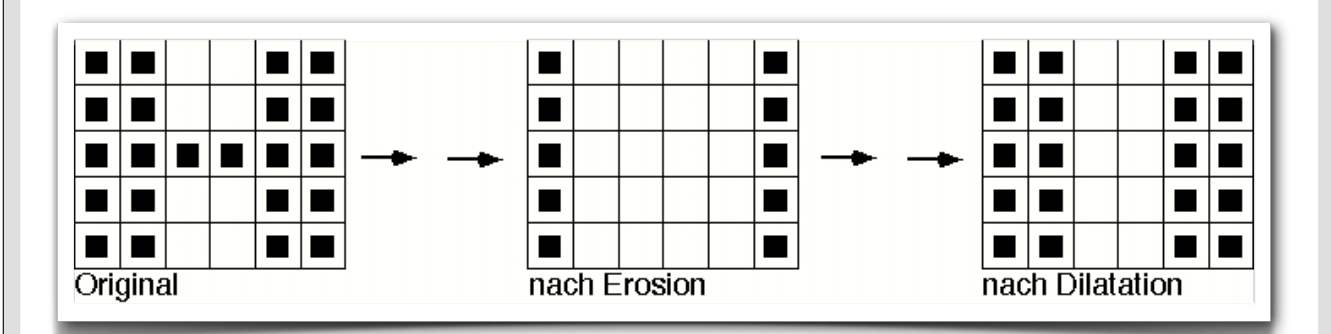
23 Institut für Biomedizinische Technik

Olaf Dössel

Bildverarbeitung: Rangordnungsfilter

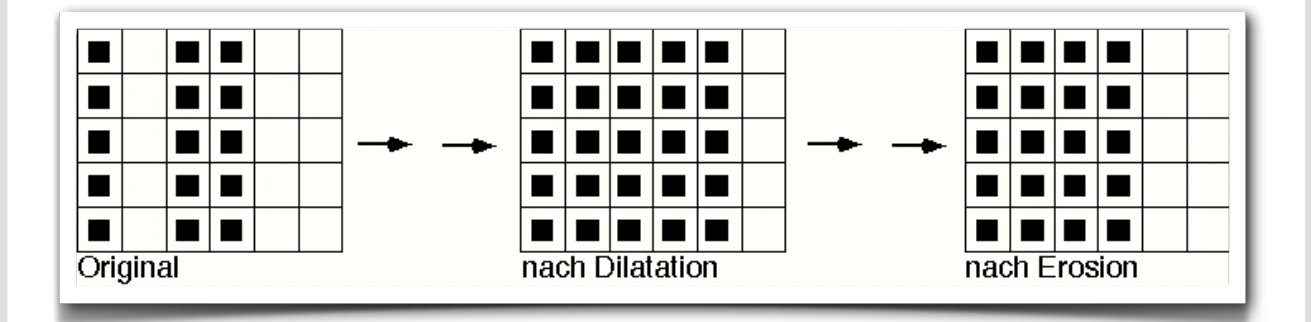


Opening-Operator





Closing-Operator



Institut für Biomedizinische Technik

Olaf Dössel

Bildverarbeitung: Rangordnungsfilter



Bild-Restauration

$$g(x,y) = f(x,y)*h(x,y)$$
 \bigcirc $G(u,v) = F(u,v) H(u,v)$

ist H(u,v) bekannt, kann f(x,y) rekonstruiert werden:

$$f(x,y)$$
 \bigcirc $F(u,v) = \frac{G(u,v)}{H(u,v)}$



Wiener Filter

$$\hat{F}(u,v) = \left[\frac{G(u,v)}{H(u,v)} \cdot \frac{\left| H(u,v) \right|^2}{\left| H(u,v) \right|^2 + \frac{NPS(u,v)}{SPS(u,v)}} \right]$$

mit: NPS(u,v) = Rauschleistungsspektrum SPS (u,v) = Signalleistungsspektrum

27 Institut für Biomedizinische Technik

Olaf Dössel

Bildverarbeitung: Bild-Restauration



Bewegungs- und Verschiebungsanalyse

- Optischer Fluss
- Korrelation
- Entropiebasierte Ähnlichkeitsmaße

Bewegungs- und Verschiebungsanalyse mit der Kreuzkorrelation

$$\tilde{r}(x',y') = \int\limits_{x_a}^{x_b} \int\limits_{y_a}^{y_b} f_1(x,y) \cdot f_2(x+x',\ y+y') dx dy$$

$$r(x',y') = \frac{\int \int f_1(x,y) \cdot f_2(x+x',\ y+y') dx dy}{\left[\int \int f_1^2(x,y) \cdot dx dy \int \int f_2^2(x,y) dx dy\right]^{\frac{1}{2}}}$$

Institut für Biomedizinische Technik

Olaf Dössel

Bildverarbeitung: Bewegungs- und Verschiebungsanalyse

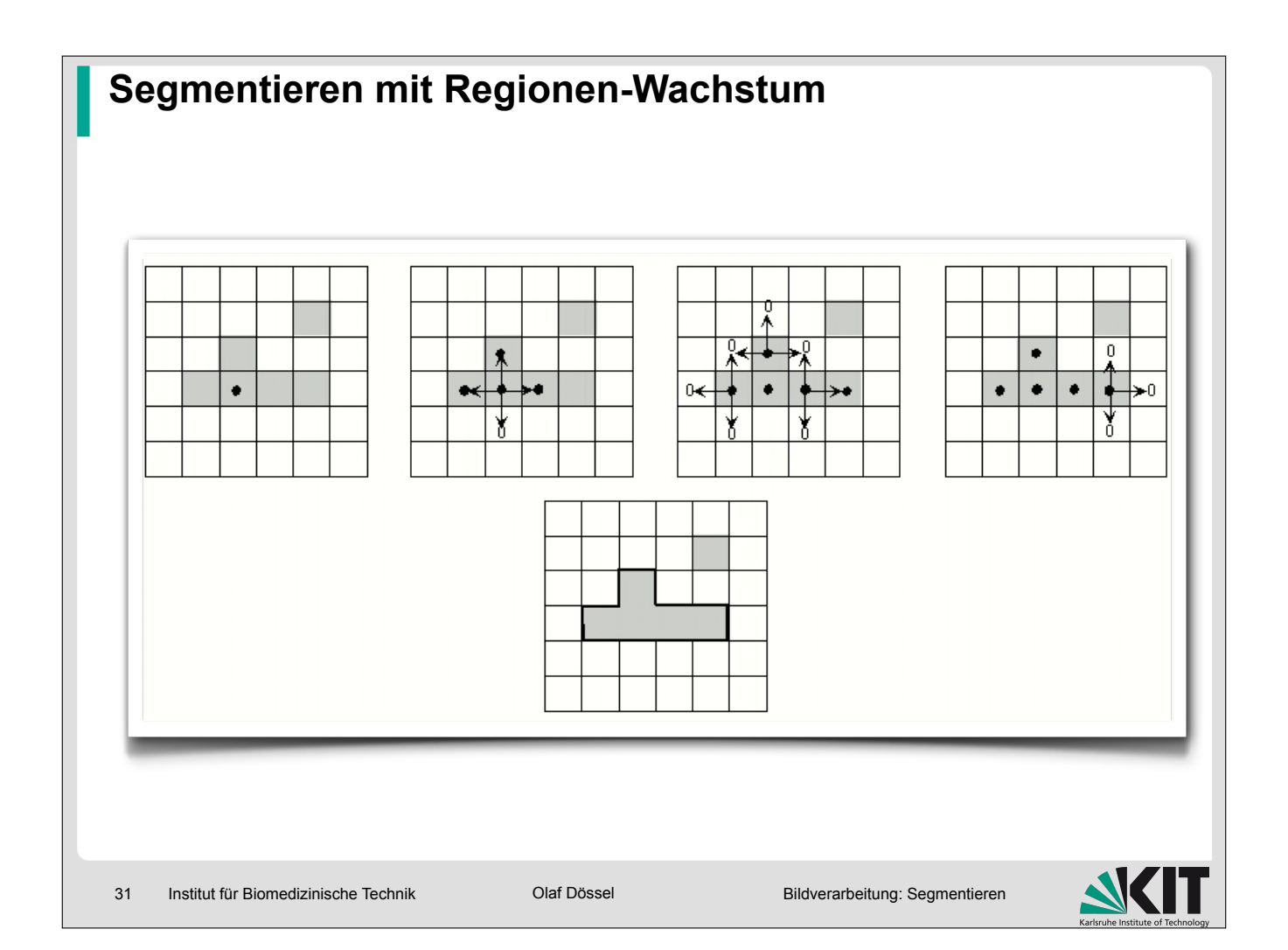


Segmentieren mit Schwellwertverfahren

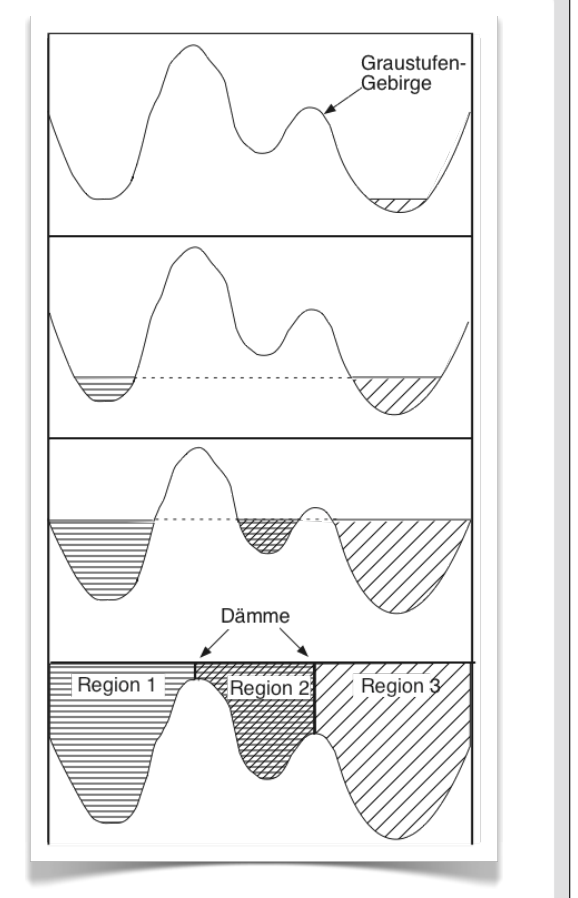
Wähle alle Punkte aus mit einem Grauwert:

 $g > g_{Schwelle u}$ oder $g < g_{Schwelle o}$





Segmentieren mit dem Wasserscheiden-Algorithmus





Klassifizierung - Auswahl von Merkmalen

- Häufigkeit von bestimmten Grauwerten in einem Gebiet
- Schwankungsbreite der Grauwerte in einem Gebiet
- Textur in einem Gebiet
- Schwerpunkt und Trägheitsmomente

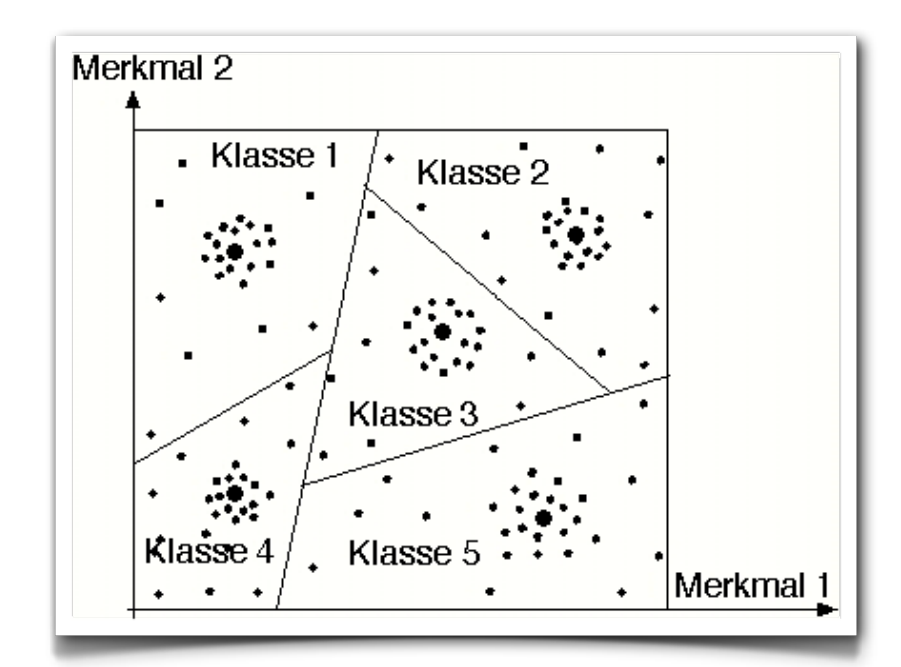
33 Institut f
ür Biomedizinische Technik

Olaf Dössel

Bildverarbeitung: Klassifizieren



Klassifikation im Merkmalsraum





Multi-Modality-Imaging

Die Aufgaben der digitalen Bildverarbeitung bei Überlagerungen sind:

- Verschieben, Rotieren, Skalieren von einem Bild relativ zum anderem ("rigid registration")
- Korrigieren von Bildverzeichnungen ("elastic registration")
- Visualisierung der Ergebnisse (z. B. Falschfarbdarstellung, Transparenz)

Institut für Biomedizinische Technik

Olaf Dössel

Bildverarbeitung: Multi-Modality-Imaging



Bildkommunikation und Archivierung

Schlagworte:

Informationssyteme in der Medizin PACS, RIS, HIS

Bilddaten-Formate **DICOM**

Archivierung

Kommunikation

Komprimierung

Datenschutz, Authentifizierung, digitale Unterschrift



Bildkommunikation und Archivierung

neue Schlagworte:

- Semantisches Durchsuchen von Daten
- intelligentes Datamining, Ableiten von Regeln
- Expertensysteme / Ratgeber bei der Befundung
- Statistische Auswertung von großen Datenbanken

Institut für Biomedizinische Technik

Olaf Dössel

Bildverarbeitung: Kommunikation und Archivierung

